

論文

FDNR概念을 利用한 低域Filter에 關한 研究

正會員 李 成 柏* 正會員 金 仁 在**

A Study on the Low-Pass Filter Design Using the Concept of FDNR

Sung Paik LEE* and In Jea KIM**, Regular Members

要 約 L.T. Bruton에 의해 提案된 FDNR(frequency dependent negative resistance)의 概念이 周波數選擇性을 갖는 回路網의 能動化에 有利點을 고찰하였다. 그리고 하나의 OP-Amp를 使用한 새로운 FDNR을 提案함으로써 回路의 簡單化를 이룩하였다. 且玆 提案된 FDNR을 能動elliptic 低域filter에 使用하고 設計된 回路網의 周波數特性를 實驗을 통하여 認證함으로써 그 妥當性을 互證하였다.

ABSTRACT This paper investigates the utilization of the concept of FDNR first proposed by L.T. Bruton to eliminate the necessity of inductance in a network. A new FDNR with single OP-Amp is also introduced to simplify the network in this paper. The efficiency of the new contrivance is also proved through experimental confirmation of its frequency when applied to an active elliptic low pass filter.

1. 序 論

周波數選擇性을 갖는 回路網構成에서 inductor 素子를 代置하는 RC能動素子로서 增幅器, Gyroator, Negative impedance converter (NIC), Positive impedance converter (PIC), Generalized impedance converter (GIC) 등이 사용되어 왔다.

1970年에 L.T. Bruton⁽¹⁾는 Frequency dependent negative resistance (FDNR)의 概念을 導入하였는데 이것은 admittance가 $-\omega^2 D$ 로 表示되므로 周波數支配를 받는 負性抵抗이라는 새로운 素子라고 할 수 있으며 inductor가 없는 filter回路設計

에 有用하였다. 이 elliptic 低域filter의 設計에 적합하다.

FDNR은 GIC를 利用하여 實現되었으며 1978年에 A.M. Soliman⁽²⁾는 Second generation current conveyer (CC II)를 利用하여 實現하였다.

本論文에서는 하나의 OP-Amp 및 capacitance와 resistance를 使用한 FDNR의 實現을 提案하고 이를 inductance가 없는 9가 elliptic 低域filter의 設計에 적용하여 이것의 實際測定值와 RLC elliptic 低域filter의 理論值를 比較하여 거의 同一한結果를 얻음으로써 그의 妥當性을 證明하였다.

2. 本 論

2-1 RLC : CRD變換

2-1-1 FDNR의 定義

FDNR은 그림 1의 記號를 갖는 2端子能動素子로서 admittance $Y(s)$ 는

$$Y(s) = \frac{I(s)}{V(s)} = S^2 D \quad (1)$$

가 되고 위의 式에서 D 는 양의 常數인 常數이

* 慶熙大學應用電子工學科

Dept. of Applied Electronic Engineering, Kwangwoon University, Seoul, 132 Korea

** 仁川尙門大學通信科

Dept. of Communication Engineering, Incheon Junior College, Incheon, 160 Korea

論文番號: 82-05 (接受 198 . 11 . 21.)

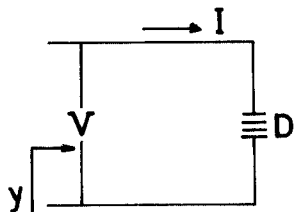


그림 1 FDNR의 표기법
The FDNR element notation.

여기 단위는 Farad-second(F, S)이다.

(1)식에서 $S = j\omega$ 로 놓으면 $Y(j\omega) = -\omega^2 D$ 로 정의되므로 주파수에 반비례하는 흡수抵抗子이다.

그리고 FDNR元件의動作에 따른時間的特性能은 素子電流 i 와 電壓 v 에 대하여

$$i = D \frac{d^2 v}{dt^2} \quad (2)$$

가 된다. 또한抵抗 R , inductance L 과 capacitance C 로 이루어진回路網을 RLC回路網이라고 하면서 素子 capacitance C 와抵抗 및 FDNR D 로 이루어진回路網을 CRD回路網이라 한다.

2-1-2 FDNR에 의한 RLC : CRD변환

RLC : CRD回路網變換은 impedance定規化(normalized)에 서

$$Z(s) = Z_o Z_n(s) = \frac{Z_n(s)}{S} \quad (3)$$

$$Y(s) = \frac{1}{Z_o} Y_n(s) = S Y_n(s) \quad (4)$$

의 관계를 가지며 impedance定規化常數 $Z_o = 1/S$ 이다.

따라서一般的의回路網의支路(branch)에 서 admittance \pm

$$Y_{RLC}(s) = G + SC + \frac{1}{SL} \quad (5)$$

(여기서 G , C 와 L 은 支路의 conductance, capacitance 및 inductance이다)

이라면 이 때의 等價인 CRD回路網의支路의 admittance \pm

$$Y_{CRD}(s) = S Y_{RLC}(s) = SG + S^2 C + \frac{1}{L} \quad (6)$$

이 되므로一般的의 RLC回路網에 대한 conductance G , capacitance C 와 inductance L 은 각각 capacitance G , FDNR C 및 전류 I 로 표시된다.

그리고 RLC : CRD回路網의變換에 4端子回路網의傳送行列 parameter를 적용하면 $A(s)$ 와 $D(s)$ parameter는 次元이 없는電壓 및電流比이므로 동일한값을 가지며 $B(s)$ 와 $C(s)$ parameter는 impedance와 admittance次元을 가지므로 각각 $B(s)/S$ 와 $SC(s)$ 로變形된다. 따라서電壓傳達函數 $1/A(s)$ 와電流傳達函數 $1/B(s)$ 은 RLC : CRD回路網의變換時에 변화되지 않으므로 FDNR을 사용하여周波數選擇性을 갖는 RLC回路網을 同一한電壓 및電流傳達特性을 갖는 inductor가 없는CRD回路網 즉 RC能動回路網으로變換시킬수 있다.

2-2 FDNR의構成

2-2-1 GIC를 使用한 FDNR의構成

그림 2에서 보인回路의構成은 1969年에 A. Antoniou^[7]에 의해 提案된回路로서

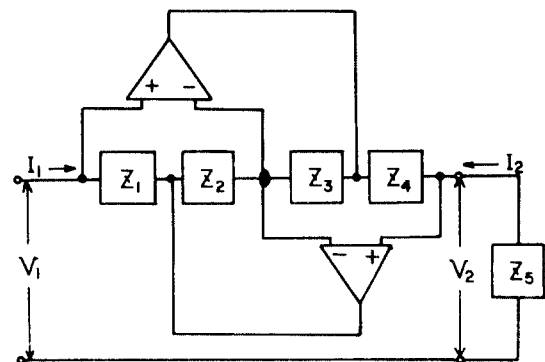


그림 2 GIC回路
Generalized impedance converter.

$$\begin{cases} V_1 = V_2 \\ I_1 = h(s)I_2 \end{cases} \quad (7)$$

가 成立하므로 GIC이며 入力admittance $Y_{in}(s)$ 는

$$Y_{in}(s) = \frac{Z_2(s)Z_4(s)}{Z_1(s)Z_3(s)Z_5(s)} \quad (8)$$

이 된다.

따라서 $Z_1(s) = Z_3(s) = 1/S$, $Z_2(s) = Z_5(s) = 1$ 과 $Z_4(s) = R_4 = D$ 라면 주 2埠 3埠의回路을構成하면 入力admittance $Y_{in}(s)$ 는

$$Y_{in}(s) = S^2 R_4 = S^2 D \quad (9)$$

이 되므로 D 값을 갖는 FDNR이實現된다.

2-2-2 CCII를 使用한 FDNR의構成

CCII(second generation current conveyer)는 1970年에 A. Sedra와 K.C. Smith^[4]에 의해 提案되었

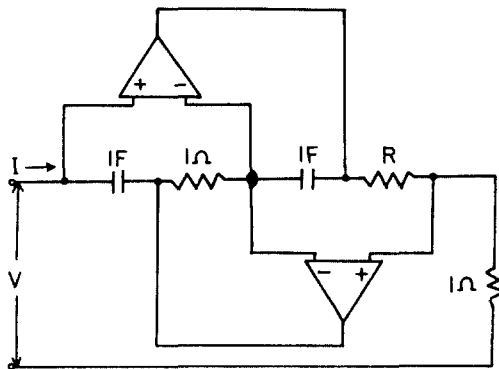


그림 3 GIC에 의해 실현된 FDNR
GIC realization of a normalized FDNR element.

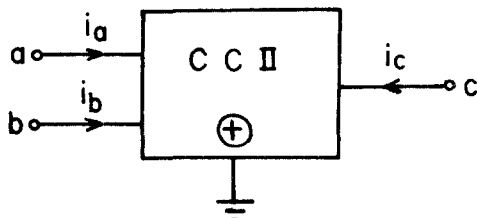


그림 4 CC II의 표기법
The CC II element notation

으며 記號는 그림 4에 보였으며 이 때 各端子間に에 관계는

$$i_b = 0, \quad v_a = v_b, \quad i_c = i_a \quad (1)$$

로 주어진다.

또한 그림 5와 같이 회로를構成하면 入力 admittance $Y_{in}(s)$ 은

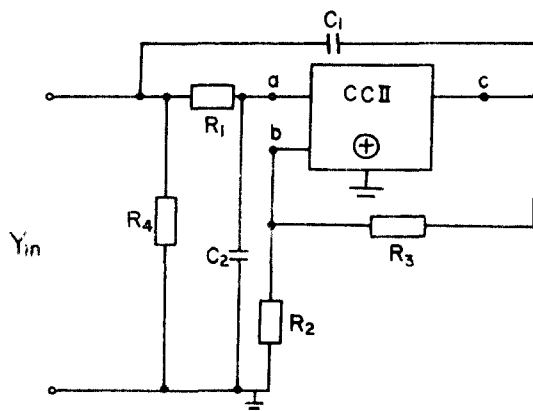


그림 5 CC II에 의한 FDNR의 실현
CC II realization of FDNR element.

$$Y_{in}(s) = \frac{a_1 + b_1 s + d_1 s^2}{a_2 + b_2 s} \quad (1)$$

여기서

$$a_1 = \frac{R_2 - R_1}{R_4} - 1$$

$$b_1 = C_2 R_2 \left(1 + \frac{R_1}{R_4} \right) - C_1 R_1 \left(1 + \frac{2R_3}{R_1} + \frac{R_2 + R_3}{R_4} \right)$$

$$d_1 = C_1 C_2 R_1 R_2$$

$$a_2 = R_2 - R_1$$

$$b_2 = R_1 [C_2 R_2 - C_1 (R_2 + R_3)].$$

이다.

이 된다.

따라서 $R_1 = R_3 = R_4 = D/3[\Omega]$, $R_2 = 2R_1[\Omega]$ 과 $C_1 = 2/3C_2 = 1[F]$ 라면 回路의 入力 admittance $Y_{in}(s)$ 는

$$Y_{in}(s) = 3C_1^2 R_1 s^2 = DS^2 \quad (2)$$

이 되므로 D 값을 갖는 FDNR이實現된다.

2-2-3 하나의 OP-Amp를 사용한 FDNR의構成

本論文에서 제안하는 FDNR構成方法으로서 그림 6과 같이 하나의 OP-Amp와 수동소자들을 접속하였다.

그림 6에서 OP-Amp의特性이理想的이라면 즉 OP-Amp의 입력단자 사이의 전위차가 없다

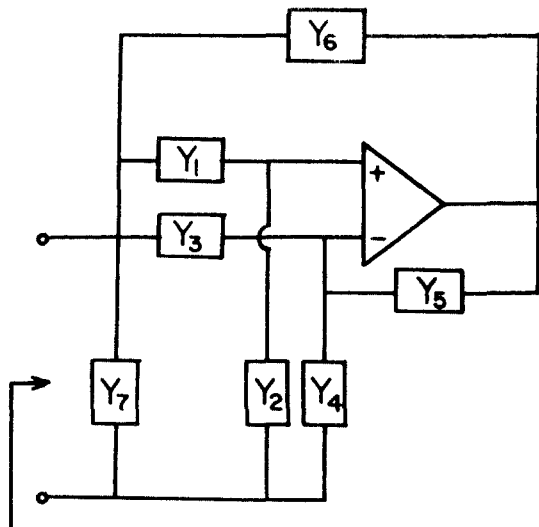


그림 6 하나의 Op-Amp에 의한 FDNR의構成
A single Op-Amp realization of FDNR element.

는 전제하에서 回路網의 단순화 해석 방법에 의해 入力admittance $Y_{in}(s)$ 를 구하면

$$Y_{in}(s) = \frac{Y_2(s) Y_5(s) [Y_1(s) + Y_3(s)] + Y_6(s)}{Y_5(s) [Y_1(s) + Y_2(s)]} \\ + Y_7(s) \quad (13)$$

이 되며 여기서 $Y_1(s) = Y_2(s) = 1$, $Y_3(s) = S$, $Y_4(s) = g_4$, $Y_5(s) = g_5$, $Y_6(s) = S+1$, $Y_7(s) = g_7$ 이라고 하면 入力admittance는 (13)式에서

$$Y_{in}(s) = \frac{1}{2g_5} S^2 + \left(\frac{1}{2g_5} + 1 - \frac{g_4}{2g_5} \right) S + 1 + g_7 - \frac{g_4}{2g_5} \quad (14)$$

이 된다.

따라서

$$g_4 = \frac{1}{D} + 1, \quad g_5 = \frac{1}{2D}, \quad g_7 = D$$

라고 놓으면 入力admittance $Y_{in}(s)$ 가

$$Y_{in}(s) = S^2 D \quad (15)$$

이 되므로 D 값을 갖는 FDNR을 實現할 수 있으며 實際回路構成은 그림 7과 같다.

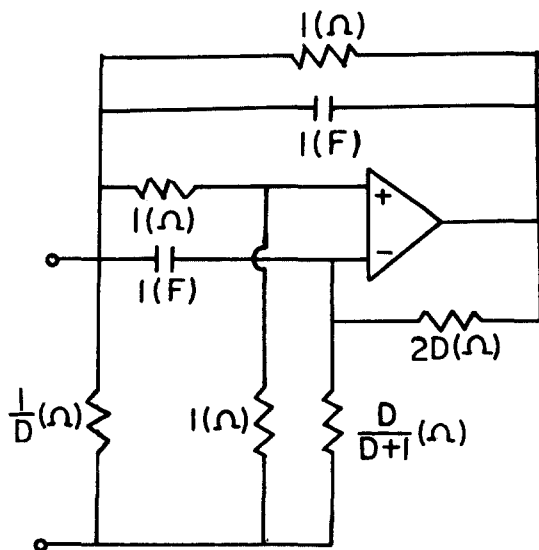


그림 7 하나의 Op-Amp에 의해 실현된 정규화된 FDNR
A single Op-Amp realization of a normalized of FDNR element.

2-3 CRD elliptic低域filter의 設計

2-3-1 定規化된 RI.C elliptic low-pass filter의 設計

Elliptic filter는 elliptic函數를 使用하는 것으로最初에 W. Caver에 의해 研究되었으므로 Caver filter라고도 하며 通過帶域과 消去帶域 모두 同一한 ripple을 가지고 아주 예리한 차단특성을 가지며 Transition region에서 매우 급격히 變換한다.

Elliptic filter의 감쇠 A_{ab} 는

$$A_{ab} = 10 \log [1 + \epsilon^2 Z_n^2(\Omega)] \quad (16)$$

으로 表示되며 여기서 ϵ 은 通過帶域의 ripple에 의해 결정되어 Z_n 은 n 차의 elliptic函數이다.

Elliptic函數는 pole과 zero를 同時에 갖는 다음과 같이 表現되는 함수이다.

$$Z_n(\Omega) = \frac{\Omega (a_2^2 - \Omega^2) (a_4^2 - \Omega^2) \cdots (a_n^2 - \Omega^2)}{(1 - a_2^2 \Omega^2) (1 - a_4^2 \Omega^2) \cdots (1 - a_n^2 \Omega^2)} \quad (17)$$

(여기서 n 은 整수이고 $m = (n-1)/2$ 이다)

$$Z_n(\Omega) = \frac{(a_2^2 - \Omega^2) (a_4^2 - \Omega^2) \cdots (a_m^2 \Omega^2)}{(1 - a_2^2 \Omega^2) (1 - a_4^2 \Omega^2) \cdots (1 - a_m^2 \Omega^2)} \quad (18)$$

(여기서 n 은 짝수이고 $m = n/2$ 이다)

위의 式에서 a_2 에서 a_m 의 値은 elliptic 적분으로부터 얻어 진다.

Elliptic filter는 다음과 같이 定義되는 그림 8과 같은 周波數 應答parameter를 갖는다.

$$\circ R_{ab} = -10 \log (1 - \rho^2) \quad (19)$$

R_{ab} 는 通過帶域의 ripple이卫 ρ 는 반사계수이다.

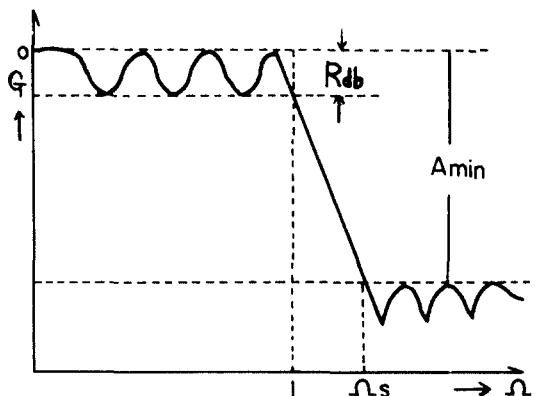


그림 8 정규화된 elliptic低域filter의 周波數應答
Normalized elliptic low-pass filter frequency response.

$$\circ A_{\min} [\text{dB}] = A_{dB} - A\rho \quad (20)$$

A_{\min} 는 소거대역에서 최소 감쇠량이고 $A\rho = 20\log(1/\rho)$ 인 소거대역의 ripple이며 A_{dB} 는 총 감쇠량이다.

$$\circ \Omega_s = \frac{1}{\sin \theta} \quad (21)$$

Ω_s 는 A_{\min} 이 일어나는 소거대역의 최소周波數이고 θ 는 filter의 Transition region의 변화정도를 결정하는 modular 각이다.

그러므로 9次의 elliptic 低域filter를設計하기 위하여 Handbook^[5]에서 定規化된 filter의 素子값을 구하면 그림 9와 같이 각각의 값을 갖는 RLC elliptic 低域filter를 設計할 수 있으며 이 때의 elliptic 低域filter의 周波數應答 parameter는 다음과 같다.

$$\left. \begin{array}{l} R_{dB} = 0.18 [\text{dB}] \\ A_{\min} = 45.1 [\text{dB}] \\ \Omega_s = 1.035276 \end{array} \right\} \quad (22)$$

2-3-2 CRD回路網으로의 變換

RLC : CRD回路網의 變換은 $1/S$ impedance 變換이므로 그림 9의 回路는 그림 10과 같은 定規化된 CRD elliptic 低域filter로 變換된다.

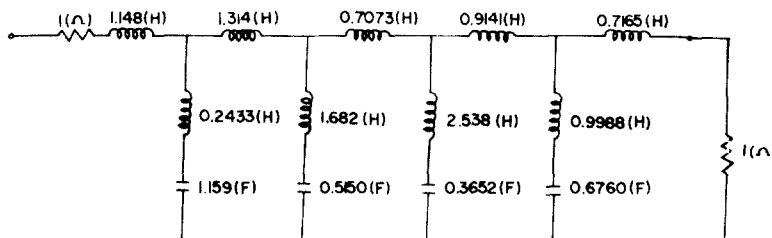


그림 9 정규화된 RLC elliptic 低域filter
Normalized RLC elliptic low pass filter.

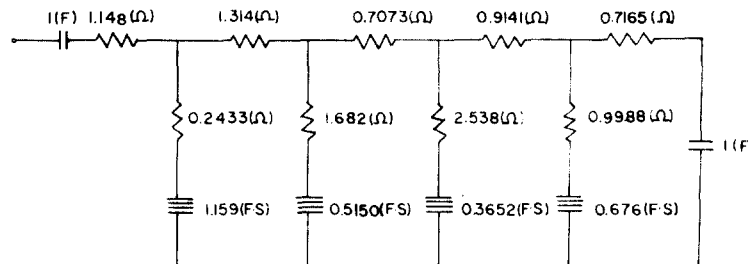


그림 10 정규화된 CRD elliptic 低域filter
Normalized CRD elliptic low pass filter.

2-3-3 設計된 FDNR의 適用

本論文에서 提案된 하나의 OP-Amp를 使用한 FDNR을 그림 10에 適用하면 그림 11과 같은 FDNR의 構成을 包含하는 定規化된 elliptic 低域filter가 構成된다.

2-3-4 設計된 回路素子의 逆定規化(denormalized)

定規化된 回路網은 特定한 周波數 ω_0 와 特定한 impedance level에 의해 다음 식과 같이 逆定規化할 수 있다.

$$C = \frac{C_n}{\omega_0 K}, \quad R = R_n K, \quad D = \frac{D_n}{\omega_0^2 K} \quad (23)$$

(여기서 C_n , R_n , D_n 은 逆定規化前에 素子값이고 상수 K 는 요구되는 impedance level이다)

따라서

$$f_0 = \frac{\omega_0}{2\pi} = 420 [\text{Hz}] \quad (24)$$

$$K = 1000$$

으로 하면 그림 11의 回路는 그림 12와 같은 9차의 CRD elliptic 低域filter가 設計된다.

3. 實驗與考察

위에서考察된設計節次에 따라實際回路를 製하는 過程에서 OP-Amp는 μ A-741을 使用하고 capacitor는 11%誤差내로 算出시켰으며, 0.1%誤差내로 하였다. 또한, 回路構成은

Epoxy가 완성 製作 하여 力能 容量 が 發生 潤滑 하는데 細心 に 注意를 차명다.

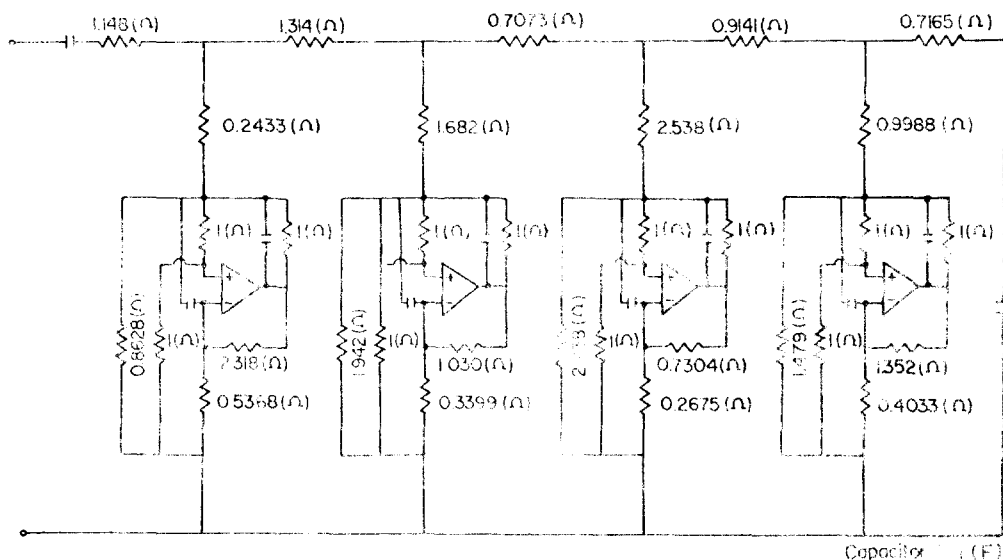


그림 11 FDNR 주共振 저통과 철로화된 elliptic低域filter
Normalized elliptic low pass filter using the FDNR elements.

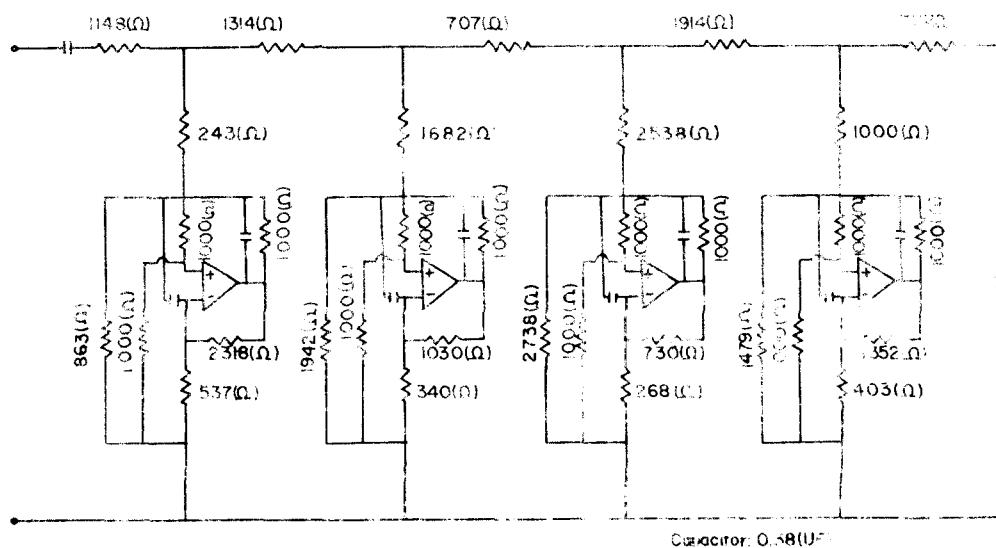


그림12 일자형 저주파 elliptic低域filter.
Diphasic elliptic low-pass filter.

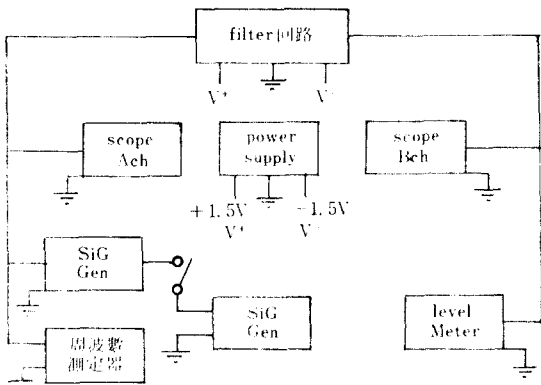


그림13 실험장치의 구조도
Constructed experimental equipments.

論値에 相對的으로 근사값을 갖는 10個을 選擇하였으며 抵抗은 炭素皮膜型固定抵抗과 可變抵抗을 直列로 하여 Digital測定器로 测定하였다.

그리고 回路의 特性測定에 있어서 實驗裝置의 構成은 그림 13과 같이 하였으며 信號電源은 2 (V)를 使用하였고 特性을 얻기까지 각 部분을 再調整하였으며 信號電源과 出力端子사이의 周波數對電壓의 测定은 10進計數形周波數測定器와 oscilloscope 및 AC level測定器를 使用하였다.

이렇게 하여 周波數特性에 對한 测定값과 일 반적인 回路의 理論값을 그림 14에 表示하였으며 oscilloscope로서 测定된 實際의 波形은 사진 1과 같다.

그리고 實驗結果에서 5(Hz)미만은 遮斷되는데

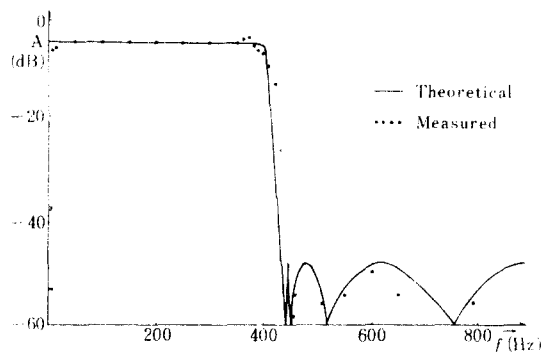


그림14 주파수 응답도
Frequency response.

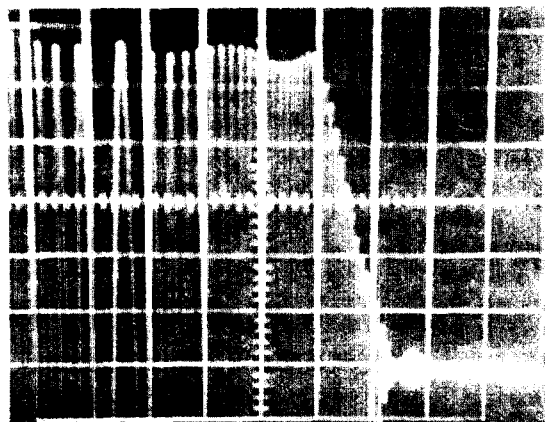


사진1 주파수 응답도
Frequency response.

이후 入力端에 使用된 capacitor에 의해 過渡現象으로 判斷된다.

또한 사진 1의 주파수대역에서 나타나는 波形은 低周波sweep generator의 sweep速度에 따른 本 filter의 過渡特性이며 다른 sweep速度를 낮게 하면 减小되어지는 것이며 周波數特性이 理論값에 차이가 벌어난 것은 capacitor에서의 誤差 및 OP-Amp의 非理想的特性으로 인하여 發生하는 것으로 判斷된다.

그리고 各索引의 값은 計算된 값에 接近가 가능할 때면 이 filter의 特性은 理論的인 特性과一致될 수 있는 것으로 思料된다.

4. 結論

FDNR의 概念을 利用하여 9次elliptic 低域filter를 設計하였으며 設計된 回路網의 周波數特性을 實驗을 通하여一般的인 elliptic filter의 周波數特性과 거의 일치시킴으로써 周波數選擇性을 갖는 回路網의 能動化에 FDNR의 概念이 有用함을 考察하였다.

그리고 하나의 OP-Amp를 使用한 비교적 간단한 構成을 갖는 FDNR을 提案하였다. 따라서 FDNR이 GIC를 이용하여 實現된 경우에 비하여 OP-Amp의 주가 반으로 감소하였으며 CCII를 利用하여 實現된 경우에는 OP-Amp의 수는 하나로 多數의 transistor가 감소되었으며 回路의 간단화가 이룩되었으며 설계성이 있음이 証명된다.

그러나 5[Hz]미만에서 입력단의 저항이 capacitor로 대체된 결과 遮斷되므로 直流까지 通過 가능한 수 있는 方法의 研究가 계속되어야 할 것이다.

参考文献

- (1) L. T. Burton, "Network transfer function using the concept of frequency dependent negative resistance", IEEE Trans. Circuit Theory, vol. CT-16, No. 8, pp. 406~408, August 1969.
- (2) A. M. Soliman, "Realisation of frequency dependent negative resistance circuit using two capacitors and single current conveyer", Proc. IEE, vol. 125, No. 12, pp. 1336~1337, December 1978.
- (3) A. Antoniou, "Realisation of gyrators using operational amplifier, and their use in RC-active network synthesis", Proc. IEE, vol. 116, No. 11, pp. 1838~1850, November 1969.
- (4) A. Sedra and K. C. Smith, "A second generation current conveyer and application", IEEE Trans. Circuit Theory, vol. CT-17, No. 2, pp. 132~134, February 1970.
- (5) A. B. Williams, Electronic Filter Design Handbook, New York: McGraw Hill, 1981.
- (6) L. P. Huelsman and P. E. Allen, Introduction to the Theory and Design of Active Filters, New York, McGraw Hill, 1980.
- (7) D. E. Johnson, Introduction to Filter Theory, New Jersey: 1976.
- (8) L. T. Bruton, "Nonideal performance of two Amplifier positive impedance converter", IEEE Trans. Circuit Theory vol. CT-17, No. 4, pp. 541~549, November 1970.



李成柏(Sung Paik LEE) 1940年12月27日生
1965年2月：漢陽大學校工科大學電氣工程系
學科卒業
1986年～現在：延世大學國立高級工業技術學院
機械工程系
1986年～現在：光云工科大學應用電子工
學科講師



金仁在(In Jea KIM) 1952年12月3日生
1974年2月：延世大學應用電子工程
學科卒業
1982年2月：光云工科大學大學院電子
通信工程科卒業(工學碩士)
1979年2月～現在：光云專門大學通信
科專任講師